

# 紫贻贝(*Mytilus edulis*)对<sup>60</sup>Co的吸收和排出

中国科学院海洋研究所放射生态组

海洋生物对环境中的某些元素(包括放射性同位素)具有较强的吸收作用,在监测海洋放射性水平的工作中,开展生物对放射性同位素吸收规律的研究已经越来越重要了。在这方面,许多研究人员以裂变产物,特别是以<sup>90</sup>Sr和<sup>137</sup>Cs等核素为研究对象。近年来则把从核电站和核动力船冷却水中排出的放射性废物,如<sup>65</sup>Zn、<sup>60</sup>Co、<sup>55</sup>Fe、<sup>59</sup>Fe等作为研究对象。其中<sup>60</sup>Co因毒性大,半衰期长(5.26年)<sup>[5]</sup>,常被作为重要监测核素。

紫贻贝是一种重要的经济贝类,广泛分布于世界各大洋,属于高纬度、内湾性种类<sup>[2]</sup>。其肉含有丰富的蛋白质、醣原和脂肪等,是人们所喜爱的海产品,其贝壳可以制纽扣或烧石灰,足丝可做纺织品的原料<sup>[3]</sup>。

我们在1976年作了紫贻贝对<sup>60</sup>Co的吸收和排除,以及吸收实验中水样放射性浓度降低原因的探讨。实验中测得了紫贻贝的足丝对<sup>60</sup>Co有很高的浓缩能力,浓缩系数\*为0.6— $1.3 \times 10^4$ 。由于紫贻贝对<sup>60</sup>Co吸收快,浓缩系数高,分布广,易养殖,采样方便,有重要经济价值等特点。我们认为,紫贻贝可以作为近海和港湾<sup>60</sup>Co监测的指示生物。

## 材料和方法

### 一、材料

生物材料取自青岛第二养殖场人工养殖的紫贻贝(*Mytilus edulis*),均为一龄贝。

实验所用的放射性核素<sup>60</sup>Co为中国科学院原子能研究所产品,化学状态为 $\text{Co}(\text{NO}_3)_2$ 。

实验用海水均取自青岛太平角。 $\text{Co}$ 离子在海水中的浓度为0.1—0.5毫克/米<sup>3</sup><sup>[4]</sup>、<sup>[11]</sup>。

### 二、样品处理和测量

海水样品每次取2个,每个为5毫升。

生物样品每次取5个(排出实验取15个),除净壳表的足丝,测长度,称总重,在蒸气中蒸三分钟,分离壳和肉,分别称重。

海水样品、生物样品分别置于几何形状相同的样品管中,直接在井型晶体中测 $\gamma$ 放射性。仪器的型号N610B(英制)。

浓缩系数(缩写C·F)含义是在平衡或稳定状态的条件下,海洋生物个体(或器官、组织)中某种放射性核素的浓度对环境水体中该核素浓度的比率<sup>[6]</sup>。

一般以生物对放射性核素吸收达到平衡时的比率为其浓缩系数。

## 实验及其结果

### 实验 I:

#### 紫贻贝对<sup>60</sup>Co的吸收

\*“浓缩系数”与我组发表的《海洋生物对放射性核素<sup>60</sup>Co、<sup>137</sup>Cs浓缩因子的测定研究》<sup>[1]</sup>一文的“浓缩因子”concentration factor含义相同。也与accumulation factor、enrichment factor、等含义相同。

在实验中，我们对养殖海水放射性浓度，每星期校正一次（校正原因详见实验Ⅲ），使其维持在0.5微居里/升左右。

生物预先进行了处理，把贝壳上的足丝清除干净，并使其单个地附着生长在棕绳上。紫贻贝体长在4.0—6.0厘米，体重在6.0—17.0克，软体部份重为整个体重的19—23%，贝壳重为整个体重的26%左右。实验期间通气，不喂饵，按预定时间（1、3、7、14、21、28、35天）取样。

实验结果如图1所示。

从图1可以看出，软体和贝壳在14天以前吸收速度很快，浓缩系数曲线陡峭。以后曲线平缓，经统计在14—35天时间内，紫贻贝的软

体和贝壳均达到平衡。其中软体部份浓缩系数平均为42—46，贝壳部份浓缩系数平均为66—92。

实验结果表明，贝壳对<sup>60</sup>Co吸收比软体部份高。实验中还发现贻贝足丝对<sup>60</sup>Co吸收要比贝壳高得多（参见表1）。

为了探索足丝、贝壳很高的累积能力是生理过程还是表面吸附，或海洋微生物（如细菌等）作用所致。我们作了活贝壳、死贝壳、灭菌贝壳及活足丝、死足丝、灭菌足丝等比较实验，还做了贝壳内外表面吸附能力的比较实验。

### 1. 贝壳和足丝的试验

1. 活壳和活足丝：上述吸收实验取样时，解剖贻贝活体，取左壳称为“活壳”，取下的足丝称“活足丝”。

2. 死壳和死足丝：将预养过的贻贝解剖取出左壳和足丝，置于20升<sup>60</sup>Co（放射性浓度为0.5微居里/升）的海水中浸泡，称为“死壳”和“死足丝”，与上述相同的取样时间，取出进行重复测量（测量后放回放射性海水中浸泡）。

3. 灭菌壳和灭菌足丝：处理方法与上述相同，并将壳和足丝经过煮沸消毒，将海水烧沸，冷却后过滤，加入抗生素40万国际单位/升，辅以紫外线消

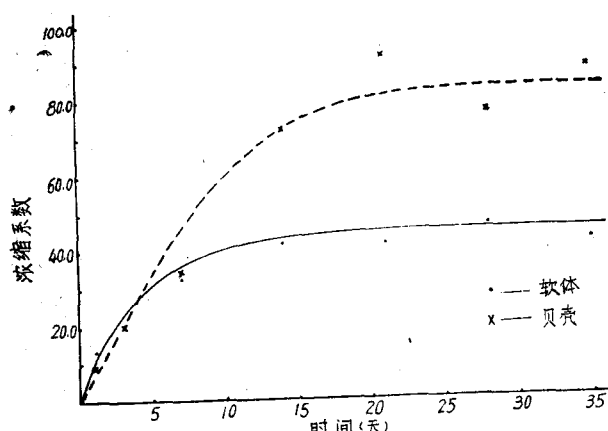


图1 紫贻贝对<sup>60</sup>Co的吸收

表1 紫贻贝的贝壳、足丝对<sup>60</sup>Co的吸收

名 称	浓 缩 系 数	养殖（或浸泡）时间（天）						
		1	3	7	14	21	28	35
贝 壳	活	9.64	15.37	29.06	67.92	58.41	61.98	90.16
	死	5.53	10.18	15.97	23.97	28.31	30.75	33.82
	灭菌	13.91	23.74	31.46	37.66	42.74	44.45	49.60
足 丝	活	764	1340	2788	5240	4684	5506	12711
	死	17	73	190	679	1109	1436	1388
	灭菌	23	67	157	408	573	721	730

注：本表死壳（足丝）或灭菌壳（足丝）对<sup>60</sup>Co的浓缩系数应为污染系数。

毒，称为“灭菌贝壳”和“灭菌足丝”。

它们的实验结果如表一所示。

从表1中，可以明显地看到活贝壳和活足丝的浓缩系数，大大地超过死贝壳和死足丝以及灭菌贝壳和灭菌足丝的值；而死贝壳（死足丝）和灭菌贝壳（灭菌足丝）之间，看不出明显的差异。

## 2. 壳的表面吸附实验

取三组实验材料：(1)、不涂石腊的贝壳；(2)、内表面涂石腊的贝壳；(3)、全涂石腊的玻片。上述样品置于<sup>60</sup>Co浓度为0.5微居里/升的20升海水中浸泡，取样时取出进行测量，测后放回水中浸泡。

结果表明，紫贻贝壳的外表面对<sup>60</sup>Co的吸附要大于内表面（参见表2）。

### 实验Ⅱ：

#### 紫贻贝对<sup>60</sup>Co的排出

紫贻贝先在浓度为0.1微居里/升<sup>60</sup>Co的海水中养殖39天之后，放到普通海水中进行排出实验，共进行210天。实验期间喂少量扁藻。

实验中示踪比强度为生物在排出实验开始时测得的比强度；实测比强度为生物移入普通海水后的不同时期所测的比强度。保留系数为实测比强度与示踪比强度比值的百分率。

紫贻贝对<sup>60</sup>Co的排出结果如图2所示：

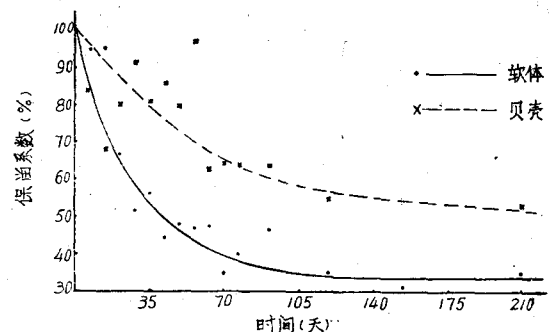


图2 紫贻贝对<sup>60</sup>Co的排出

从图中可以看出，软体部份在70天以前排出较快，以后逐渐缓慢，有效半衰期( $T$ )在42—63天之间。贝壳排出较慢，有效半衰期( $T'$ )在154天左右。

据生物体内对某种放射性核素的生物半衰期( $T_b$ )：

$$T_b = \frac{T_r \cdot T}{T_r - T}$$

( $T_r$ 为某种放射性同位素的半衰期)。

可以得出，紫贻贝对<sup>60</sup>Co的生物半衰期，软体部份为43—66天，贝壳为203天。

从本实验结果看来，紫贻贝一旦受<sup>60</sup>Co污染后，即使重新生活于非污染的水环境中，要全部排出<sup>60</sup>Co也是很困难的。

### 实验Ⅲ：

#### 紫贻贝吸收<sup>60</sup>Co实验中水样放射性浓度

表2 贝壳表面的污染系数\*

表面污染系数 壳		浸泡时间(天)						
		1	3	7	14	21	28	35
测	不涂石腊	0.588	1.087	1.712	2.578	3.045	3.235	3.639
量	涂内表面	0.372	0.606	0.897	1.646	2.098	2.320	2.658
值	腊玻片	0.018	0.051	0.060	0.117	0.101	0.129	0.114
计	外表面	0.354	0.555	0.837	1.529	1.997	2.191	2.544
算	内表面	0.234	0.532	0.875	1.049	1.048	1.044	1.095

注：外表面计算值=贝壳涂内表面测量值—腊玻片测量值；

内表面计算值=贝壳不涂石腊测量值—外表计算值。

\*：表面污染系数为单位表面所吸附的放射性(每分钟计数/厘米<sup>2</sup>)对于单位介质(浸泡海水)放射性(每分钟计数/毫升)的比率。

### 降低原因的探讨

在以前的贻贝吸收 $^{60}\text{Co}$ 实验中，曾发现14天内，水样放射性浓度下降了50%以上。如图3所示：

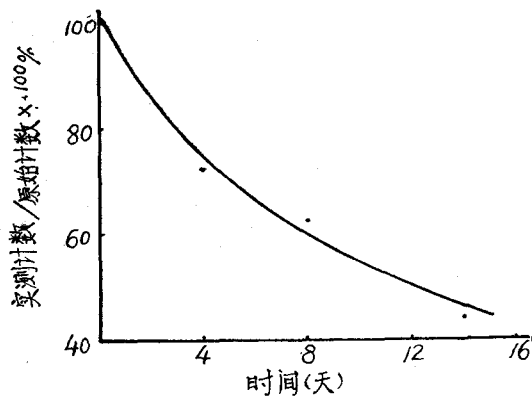


图3 养殖贻贝的海水 $^{60}\text{Co}$ 浓度下降趋势

为了探讨引起上述变化的原因，我们安排了如表3的各组实验。

实验结果参见图4（I—VI）。

从图4（I—VI）中看出下述结果：

1. I、II两组水样浓度无明显变化。说明过滤海水、过滤淡水对 $^{60}\text{Co}$ 浓度无明显影响；玻璃缸壁对 $^{60}\text{Co}$ 基本不吸附（见图4—I、II）。

2. 白瓷砖池壁对 $^{60}\text{Co}$ 有吸附作用（见图IV、V）。而加入大量 $\text{Co}^{++}$ 载体后（25,000倍

实验结果参见图4（I—VI）。

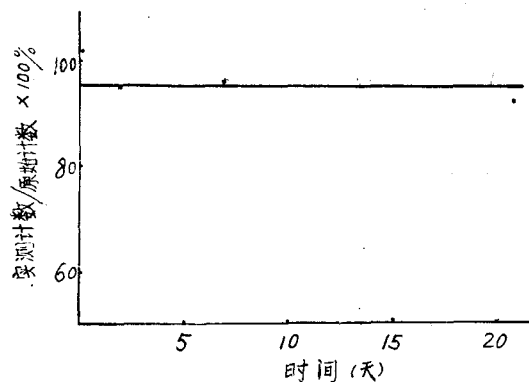


图4-I 淡水

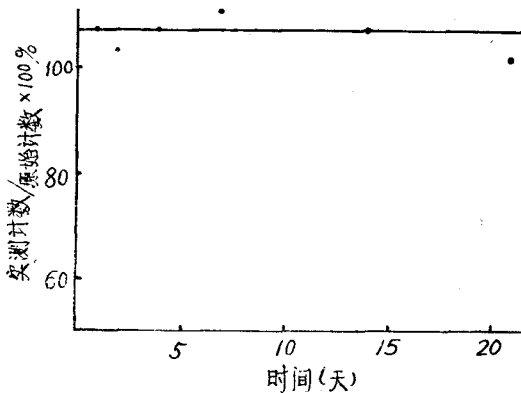


图4-II 过滤海水(玻璃缸)

以上），白瓷砖池壁对 $^{60}\text{Co}$ 吸附作用不明显（见图4 V、VI）。

表3  $^{60}\text{Co}$ 在海水中浓度降低原因的探讨

编号	水 体	体积(升)	容 器	实验 目 的
I	过滤淡水	20	玻 璃 缸	(1)海水、淡水的影响 (2)生物的影响； (3)容器的影响； (4)载体的影响。
II	过滤海水	20	玻 璃 缸	
III	普通海水	20	玻 璃 缸	
IV	过滤海水加紫贻贝(20个)	20	玻 璃 缸	
V	过滤海水	1000	白 磁 砖 池	
VI	过滤海水加载体( $\text{mg Co}^{++}/\text{m}^3$ )	1000	白 磁 砖 池	

注：过滤使用了3号玻璃滤器，滤板平均孔径为15—40微米，能滤除一般结晶沉淀、杂质、除细菌外的一般浮游动植物及有机碎屑。

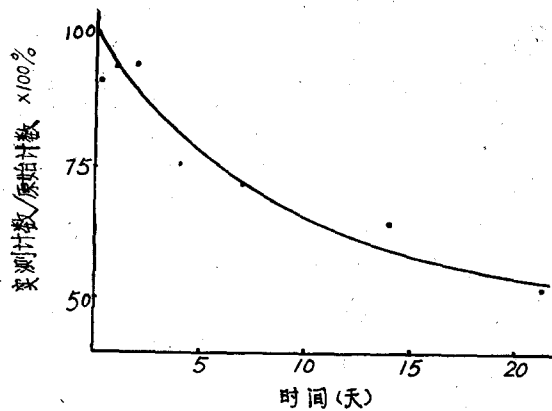


图4—Ill 普通海水

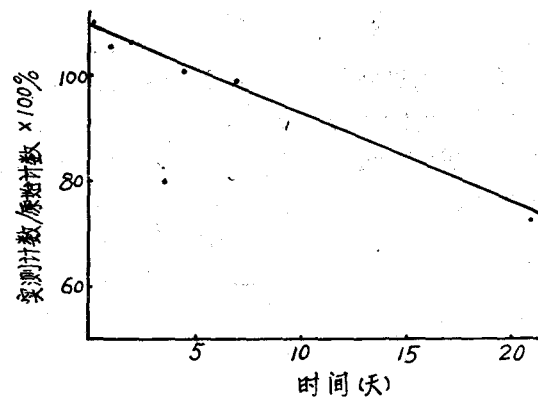


图4—V 过滤海水(瓷砖池)

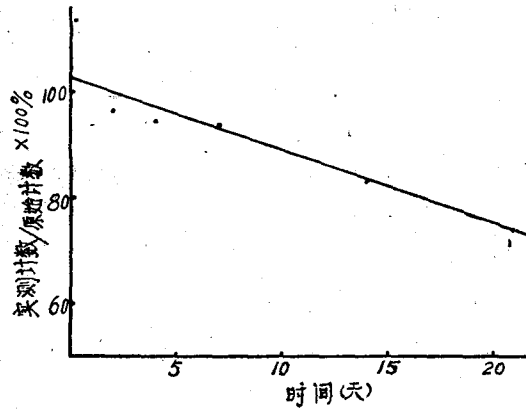


图4—IV 过滤海水加紫贻贝

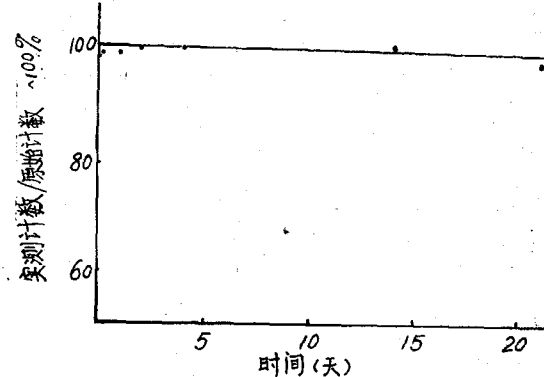


图4—VI 过滤海水加500毫克Co<sup>++</sup>/立方米

3. 普通海水水样浓度明显下降(见图4—Ill)。实验结束时，其放射性有84%在缸底沉淀物中。经显微镜检查，沉淀主要是浮游植物(圆筛藻、甲藻、鼎藻等)、有机碎屑、少量浮游动物等。沉淀干物质的放射性为水样的4.13万倍。

4. IV组水样浓度明显下降(见图4—IV)。其损耗的放射性大部份为紫贻贝吸收，如下表所示：

综上所述，水样浓度降低的原因是多样的。在我们的实验条件下，紫贻贝吸收、水中有有机物及池壁的吸收或吸附等都有一定的影响。

表4 生物对水样放射性损耗的影响

	水样总放射性			放射性损耗的分配比例					
	开始	末次	损耗	足丝	软体	贝壳	排泄物	其他	总计*
每分钟衰变数( $\times 10^5$ )	43.4	31.4	12	4.9	3.3	2.0	1.2	0.6	12
比例 (%)	100	72.4	27.6	40.8	27.5	16.7	10	5	100

\* 放射性损耗的测量值总计为 $12 \times 10^5$ 与水样放射性损耗相同这是偶然巧合。

## 讨 论

〈1〉紫贻贝软体部份的浓缩系数在42—46之间，与我们过去所做的几种鱼、虾、贝、藻类可食部位的浓缩系数相比，都显得高些。参见表5。

可见，紫贻贝比表5中所述各生物有较强的吸收<sup>60</sup>Co的能力。

〈2〉清水诚(M·SHIMIZU)<sup>(7)</sup>、<sup>(8)</sup>，G.G.Polikarpov<sup>(9)</sup>，A.W.Van Weers<sup>(10)</sup>分别得出贻贝软体的浓缩系数为140，125—186，155±30，比我们实验中测得的高，这很可

表5 几种海洋生物对<sup>60</sup>Co的浓缩系数<sup>(1)</sup>

生物种类	鱼				对 虾	蛤 仔		海 带				
	头 部	内 脏	肌 肉	骨 脂		整 体	软 体	贝 壳	基 部	中 部	梢 部	全 叶 片
解剖部位	黑 鲽	4.5—5.0	13.9—16.6	1.0—1.2	2.4—3.1							
浓缩系数	石 鳓	7.1—8.1	12.9—14.9	2.5—3.8	3.5—4.9	12.1—15.9	9.3—11.4	180.0*	24.9*	34.3*	30.2*	29.8*

\*是未达到平衡的浓缩系数，为组平均最大值。

能由于方法不一致所引起。我们如果把贻贝体内未除净的足丝加在软体部份计算的话，软体的浓缩系数为105—161，则与他们的高值相近。

在清水诚所作的紫贻贝各组织对<sup>58</sup>Co的吸收实验中，与足丝分离后整个软体部分的浓缩系数是64，和我们的数值相近。

我们认为，由于足丝不是可食部分，软体部分的浓缩系数应去除足丝的影响比较合适。

〈3〉据清水诚<sup>(7)</sup>的工作，活足丝、活壳与死足丝、死壳对<sup>60</sup>Co的浓缩没有区别。由此，他们认为紫贻贝足丝浓缩较高的原因不是生理过程，而是和周围水体直接接触的表面吸附引起的。在我们的实验中，活足丝和活壳的浓缩系数显著地超过死足丝和死壳（见表1），说明紫贻贝活体足丝和贝壳对<sup>60</sup>Co的浓缩不只是表面吸附过程，生理过程也起着一定的作用。

〈4〉在水样放射性浓度降低的实验中，海水中沉淀物有较大影响，其中主要是浮游生物及其它有机碎屑，这些干物质<sup>60</sup>Co的放射性为水样的4—13万倍。浮游生物对放射性的吸收问题值得进一步研究。

〈5〉紫贻贝对<sup>60</sup>Co吸收快，其足丝的

浓缩系数相当高，且有分布广，易养殖，采样方便，经济价值高等特点。我们认为，紫贻贝可以作为监测<sup>60</sup>Co的指示生物。

## 结 论

1. 紫贻贝软体部份（不包括足丝）的浓缩系数为40—46；贝壳部分为66—92；足丝为0.6—1.3×10<sup>4</sup>。

2. 足丝和贝壳对<sup>60</sup>Co累积，不单是它们和周围水体的直接接触的表面吸附，而机体的生理过程也起着一定的作用，似乎和细菌等微生物的关系不大。壳的外表面吸附要大于内表面。

3. 紫贻贝对<sup>60</sup>Co的排出，软体较快，有效半衰期在42—63天之间；贝壳较慢，有效半衰期为154天左右。

## 参 考 资 料

[1] 中国科学院海洋研究所放射生态组，海洋生物对放射性核素<sup>60</sup>Co、<sup>137</sup>Cs浓缩

（下转25页）

大活动。蓑鲉很长的胸鳍，伸张开来时很象“飞鸟”，它经常在珊瑚丛边缘游动，很象一只“花鸟”在觅食。这两种鲉的背鳍棘的基部都有毒腺，如不留意被其刺伤后，伤口红肿，发生剧疼，甚至痉挛以至死亡。因此渔民称这类鱼叫“老虎鱼”。在南海工作的同志对它们要十分留意。

潜鱼 (*Carapus spp.*) 也叫隐鱼，这类

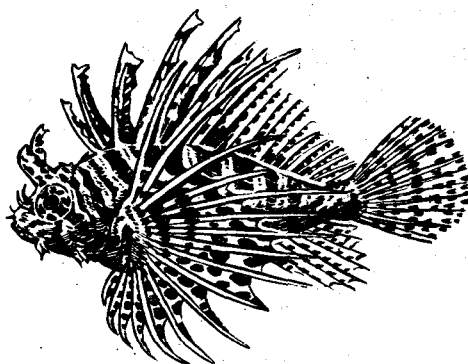


图7 蓑 鲉

鱼身体细长，呈鳗形。在西沙群岛地区捞取海参时，经常可以从海参“肚子”里找到活着的潜鱼，这是由于它们平时潜伏在海参体腔中，以致在人们捞起海参时，它们还没能来得及逃出来。在方刺参中生活的潜鱼，个体较小而透

(上接第54页)

- [1] 因子的测定研究，《环境科学》，1976年第1期，47—52页
- [2] 青岛海洋水产研究所，国外贻贝养殖概况，《国外海洋水产》1975年6月，2期1—13页
- [3] 集美水产专科学校，贻贝的养殖，《贝类养殖》，1961年，55—65页。
- [4] 顾宏堪：元素地球化学《海洋与湖沼》，1965年，7卷1期，73—83页。
- [5] C. M. Lederer et al. 1967, Table of Isotopes. 6th ed. John Wiley & Sons, Inc. New York, London, Sydney. P. 21.
- [6] S. E. Thompson et al. 1972 Concentration factors of chemical elements in edible aquatic organisms. UCRL—50564, 74pp.

明，眼睛很明显；在梅花参中生活的潜鱼，个体较大而不透明，眼睛埋于皮下，几乎看不到，这是两个不同种的潜鱼。海参和潜鱼的这种“共生”现象，也是自然界中较少见的几个事例之一。

#### 四、结语

西沙群岛的鱼类种类繁多，包括有各种不同类型的鱼类，它们都是些典型的暖水性种。有大洋洄游性种类的金枪鱼、鲔鱼、硬刺鲅鱼、旗鱼、箭鱼、鲨鱼等；有分布在本区不做远距离洄游的梅鲷、石斑鱼、笛鲷、裸颊鲷、鸚嘴鱼等种类，以上两类鱼代表的种数虽不多，但却是渔业上捕捞的主要对象，约占这一地区渔获量的90%左右；还有形形色色的珊瑚礁鱼类如雀鲷、隆头鱼、蝴蝶鱼、刺尾鱼、鸚嘴鱼（除驼背鸚嘴鱼）等等，它们几乎到处皆是，但经济价值不大，却是分类上许多代表性的种类。

总之，西沙群岛由于气候温暖，雨量充沛，自然环境优越，鱼类资源丰富。过去我们虽做过一些初步调查，但仍然了解不够全面，特别对一些经济种类的资源状况，更嫌不足，还有待进一步研究、开发和利用。

- [7] M. Shimizu et al. 1971. uptake of  $^{58}\text{Co}$  by Mysel *Mytilus edulis* Jour. Radi. Resea. 12—1 17—28
- [8] M. Shimizu et al. 1970 Uptake of  $^{60}\text{Co}$  by marine animals. Rec. Ocea. Wor. Jap. vol. 10, no. 2, 137—145
- [9] G. G. Polikarpov 1966 Radioecology of Aquatic Organisms. North-Holland Publ. Co. Amsterdam, 314pp.
- [10] A. W. Van Weers 1972, Uptake and Loss of  $^{65}\text{Zn}$  and  $^{60}\text{Co}$  by the Mysel *Mytilus edulis* L. IAEA-SM-158 /24 385—400
- [11] J. P. Riley et al. 1965, Chemical Oceanography. Academic Press London and New York, p. 164